

УДК 547.022:547.78:548.37

**МОЛЕКУЛЯРНАЯ И КРИСТАЛЛИЧЕСКАЯ СТРУКТУРА  
АМИНОЗАМЕЩЕННОГО НИТРОНИЛНИТРОКСИЛА И ЕГО ПРОИЗВОДНЫХ**

**Е.В. Третьяков, Г.В. Романенко, С.Е. Толстиков, В.И. Овчаренко**

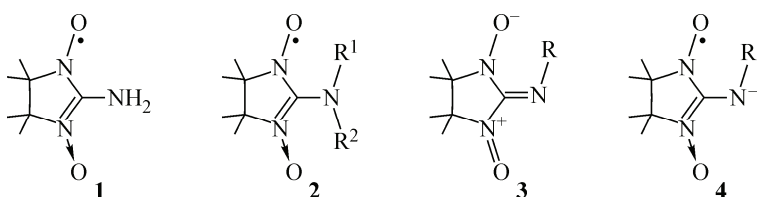
*Институт "Международный томографический центр" СО РАН, Новосибирск*  
E-mail: romanenko@tomo.nsc.ru

*Статья поступила 12 мая 2012 г.*

Установлена молекулярная и кристаллическая структура аминозамещенного нитронилнитроксила **1**, продуктов его последующего окисления, ацилирования и восстановления — цвиттер-ионов **3a**, **3b** и солей **K(4b)** и **K<sub>2</sub>(4b)(CF<sub>3</sub>CO<sub>2</sub>)**.

**Ключевые слова:** нитроксильные радикалы, кристаллическая структура.

"Компактные" молекулы органических парамагнетиков [1] представляют несомненный интерес для дизайна молекулярных магнетиков [2]. К их числу принадлежат аминозамещенный нитронилнитроксил **1** и его производные **2—4** [3]. Информация о строении подобных соединений важна — она служит основой для выявления магнитно-структурных корреляций и проведения теоретических расчетов [4]. Рентгеноструктурное исследование важно и для цвиттер-ионных диамагнитных соединений **3**, строение молекул которых в классическом варианте может быть передано лишь набором крайних структур [2]. Поскольку среди обсуждаемых соединений только для диметиламинозамещенного нитронилнитроксила **2a** были известны структурные данные [5], мы разработали методики выращивания монокристаллов нитроксила **1**, его производных — цвиттер-ионов **3a**, **3b** и выделенных в виде твердых фаз солей **K<sub>2</sub>(4b)(CF<sub>3</sub>CO<sub>2</sub>)**, **K(4b)**, провели их исследование методом PCA и выявили особенности изменения длин связей в сопряженном фрагменте ONC(N)NO при переходе от **1** к **3** и **4**.



**2:** R<sup>1,2</sup> = Me (**a**), Et (**b**), -(CH<sub>2</sub>)<sub>2</sub>- (**c**), -(CH<sub>2</sub>)<sub>2</sub>O(CH<sub>2</sub>)<sub>2</sub>- (**d**);  
R<sup>1</sup> = Pr<sup>i</sup>, R<sup>2</sup> = H (**e**), R<sup>2</sup> = COMe (**f**), R<sup>2</sup> = COPh (**g**), R<sup>2</sup> = CO<sub>2</sub>Et (**h**)  
**3:** R = H (**a**), COCF<sub>3</sub> (**b**)  
**4:** R = H (**a**), COCF<sub>3</sub> (**b**), Pr<sup>i</sup> (**c**)

#### ЭКСПЕРИМЕНТАЛЬНАЯ ЧАСТЬ

Нитронилнитроксил **1**, цвиттер-ионы **3a**, **3b** получали по описанным в литературе методикам [3]; кристаллы соединений выращивали из смеси CH<sub>2</sub>Cl<sub>2</sub> с *n*-гептаном. Для приготовления парамагнитных солей **K(4b)** и **K<sub>2</sub>(4b)(CF<sub>3</sub>CO<sub>2</sub>)** на цвиттер-ион **3b** действовали KBH<sub>4</sub> в MeOH

Т а б л и ц а 1

*Кристаллографические данные, детали рентгеноструктурного эксперимента  
и значения избранных длин связей (Å)*

Параметр	1	3а	3б	K <sub>2</sub> (4b)(CF <sub>3</sub> CO <sub>2</sub> )	K(4b)
Формула	C <sub>7</sub> H <sub>14</sub> N <sub>3</sub> O <sub>2</sub>	C <sub>7</sub> H <sub>13</sub> N <sub>3</sub> O <sub>2</sub>	C <sub>9</sub> H <sub>12</sub> F <sub>3</sub> N <sub>3</sub> O <sub>3</sub>	C <sub>11</sub> H <sub>12</sub> F <sub>6</sub> K <sub>2</sub> N <sub>3</sub> O <sub>5</sub>	C <sub>9</sub> H <sub>12</sub> F <sub>3</sub> KN <sub>3</sub> O <sub>3</sub>
Мол. масса	172,21	171,20	267,22	458,44	306,32
Пр. гр., Z	P-1, 4	P2 <sub>1</sub> /n, 4	P2 <sub>1</sub> , 2	P-1, 2	P2 <sub>1</sub> /n, 8
a, Å	6,9875(7)	11,975(6)	7,801(3)	7,2576(8)	7,2295(9)
b, Å	11,8660(13)	6,730(3)	7,530(3)	11,0926(12)	10,7318(13)
c, Å	12,2636(14)	12,237(6)	10,322(3)	11,1726(14)	33,431(4)
α, град.	108,532(8)			85,153(9)	
β, град.	106,308(6)	116,114(10)	102,04(2)	84,830(9)	95,858(10)
γ, град.	95,537(6)			80,754(8)	
V, Å <sup>3</sup>	905,83(17)	885,6(7)	593,0(3)	881,91(18)	2580,2(5)
ρ <sub>выч</sub> , г/см <sup>3</sup>	1,263	1,284	1,497	1,726	1,577
μ, мм <sup>-1</sup>	0,094	0,096	0,142	5,63	4,075
Обл. сканир. по θ, град.	1,85—27,72	18—28,60	2,02—28,40	3,98—67,17	2,66—54,27
I <sub>hkl</sub> изм. / незав.	13213 / 4213	5307 / 2204	5440 / 2744	8729 / 2722	9034 / 3075
R <sub>int</sub>	0,0560	0,0489	0,1329	0,0712	0,0336
N	330	113	163	245	344
GOOF	0,889	1,017	0,77	1,020	1,048
R <sub>1</sub> для I <sub>hkl</sub> > 2σ <sub>I</sub>	0,0415	0,0588	0,0752	0,0624	0,0710
wR <sub>2</sub>	0,0933	0,1490	0,1521	0,1588	0,2027
R <sub>1</sub> для всех I <sub>hkl</sub>	0,0705	0,1128	0,2969	0,1204	0,0822
wR <sub>2</sub>	0,1030	0,1843	0,2183	0,1855	0,2144

в присутствие KOH [3]. Раствор синего цвета упаривали, остаток промывали эфиром для удаления **3а** и растворяли в ДМФА. Полученный раствор постепенно разбавляли эфиром, выделившиеся кристаллы K(**4b**) и K<sub>2</sub>(**4b**)(CF<sub>3</sub>CO<sub>2</sub>) отфильтровывали, промывали эфиром и сушили на воздухе.

Рентгеноструктурное исследование монокристаллов комплексов проведено на дифрактометре SMART APEX DUO (Bruker AXS) при 240 К на MoK<sub>α</sub>-излучении ( $\lambda = 0,71073 \text{ \AA}$ ) для **1**, **3а**, **3б** и CuK<sub>α</sub>-излучении ( $\lambda = 1,54178 \text{ \AA}$ ) для K<sub>2</sub>(**4b**)(CF<sub>3</sub>CO<sub>2</sub>), K(**4b**). Поглощение учитывали по программе Bruker SADABS, версия 2.10. Структуры решены прямыми методами и уточнены полноматричным МНК в анизотропном приближении для всех неводородных атомов. Температурные и позиционные параметры всех атомов H в структуре **1** и атома H группы NH в **3а** уточнялись без ограничений. Для **3б**, K<sub>2</sub>(**4b**)(CF<sub>3</sub>CO<sub>2</sub>) и K(**4b**) положения атомов H рассчитаны геометрически, их уточнение проводили изотропно в приближении жесткой группы. Все расчеты по решению и уточнению структур проводили по комплексу программ Bruker SHELXTL Version 6.14. Кристаллографические характеристики исследованных соединений, некоторые детали эксперимента и значения избранных длин связей приведены в табл. 1.

Структуры **1**, **3а** и **3б** молекулярные. Стереохимические параметры двух кристаллографически независимых молекул **1** (рис. 1) в пределах ошибки совпадают (табл. 2). Молекулы связаны водородными связями N—H...O между NH<sub>2</sub>-группой и атомами O групп NO в зигзагообразные ленты (см. рис. 1, б). Внутри повторяющихся фрагментов ленты в ее образовании у одной пары радикалов участвуют только два атома O групп NO, тогда как у другой — все четыре (параметры H-связей приведены в табл. 3), что находит свое отражение в значениях длин связей N—O. Если в первой паре радикалов они лежат в широком интервале (1,285(1)—

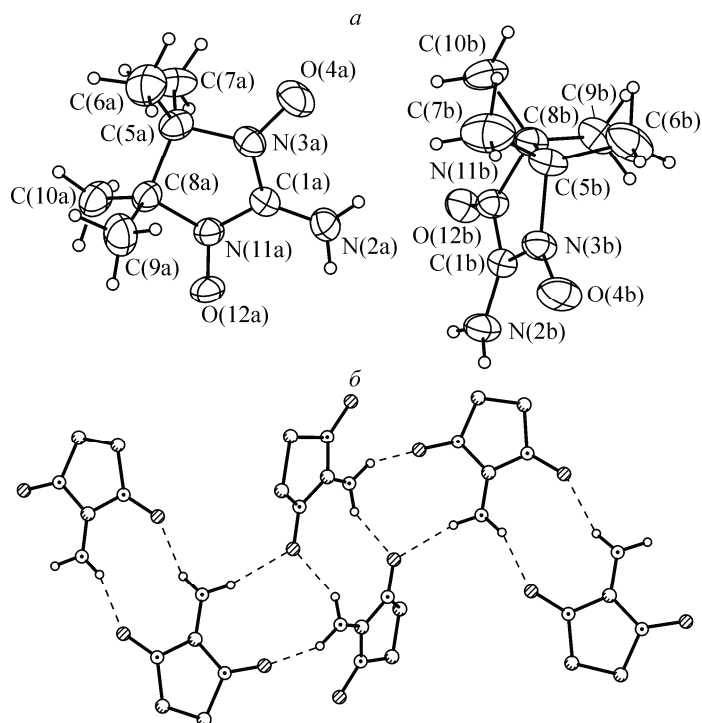


Рис. 1. Строение кристаллографически независимых молекул (а) и ленты (б) в 1

Таблица 2

*Избранные длины связей и расстояния в структурах исследованных соединений*

Параметр	1	3a	3b	K <sub>2</sub> (4b)(CF <sub>3</sub> CO <sub>2</sub> )	K(4b)
N—O	1,285(1), 1,313(1), 1,304(1), 1,292(1)	1,260(2), 1,264(2)	1,241(7), 1,249(7)	1,288(5), 1,302(5)	1,290(6), 1,292(6), 1,299(6), 1,303(6)
C—N	1,329(2), 1,329(2)	1,284(3)	1,312(9)	1,349(6)	1,369(8), 1,362(7)
(C—N) <sub>Im</sub>	1,356(2), 1,325(2) 1,329(2), 1,347(2)	1,395(3), 1,385(3)	1,354(9), 1,391(9)	1,349(6), 1,342(6)	1,335(8), 1,336(8) 1,341(7), 1,347(7)
K—O				2,682(4)—2,946(4)	2,627(5)—3,032(5)
K—N				2,862(4)	2,890(5), 3,072(5)
K—F				3,099(5)—3,139(4)	2,953(5), 2,997(6)

Таблица 3

*Параметры (d, Å, угол, град.) Н-связей в структуре 1*

D—H...A	d(D—H)	d(H...A)	d(D...A)	∠(DHA)
N(2a)—H(2aa)...O(12a)#1	0,90(2)	2,03(2)	2,846(2)	151(2)
N(2b)—H(2bb)...O(12a)#1	0,91(2)	2,12(2)	3,002(2)	164(1)
N(2a)—H(2ab)...O(12b)	0,88(2)	2,10(2)	2,864(2)	143(1)
N(2b)—H(2ba)...O(4b)#2	0,86(2)	2,08(2)	2,896(2)	159(1)

Операции симметрии для эквивалентных атомов: #1  $-x, -y+1, -z+1$ ;  
#2  $-x+1, -y+1, -z+2$ .

Рис. 2. Строение молекул **3a** (*a*) и **3b** (*b*). Димеры в **3a** (*в*) и цепочки в структуре **3b** (*г*) (показаны только контакты O(10)...C(11'), метильные группы удалены)

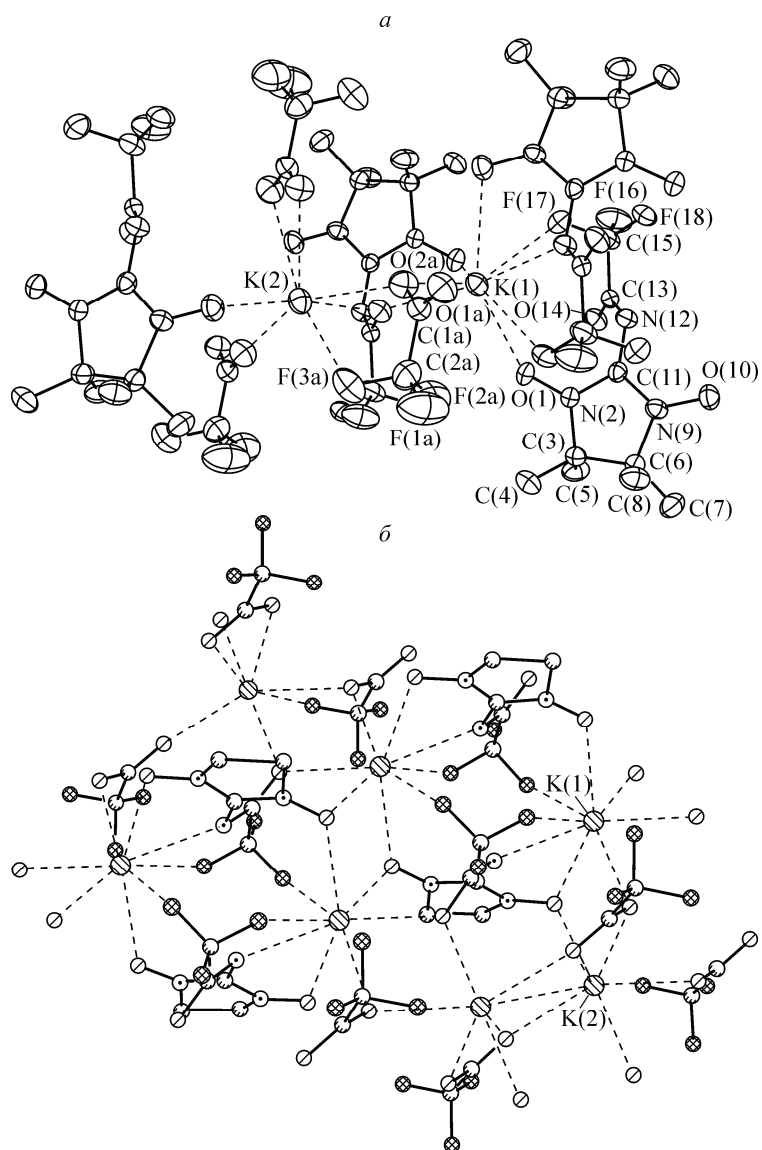
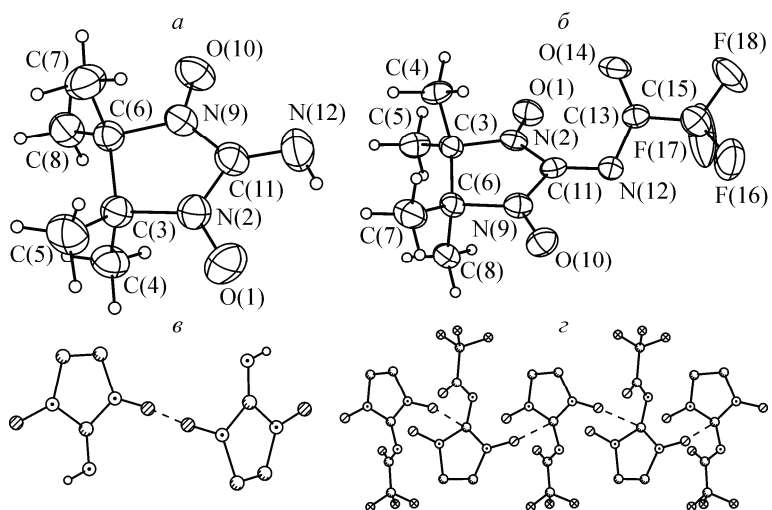


Рис. 3. Окружение атомов K (*a*) и фрагмент слоя (*б*) в структуре  $K_2(4b)(CF_3CO_2)$

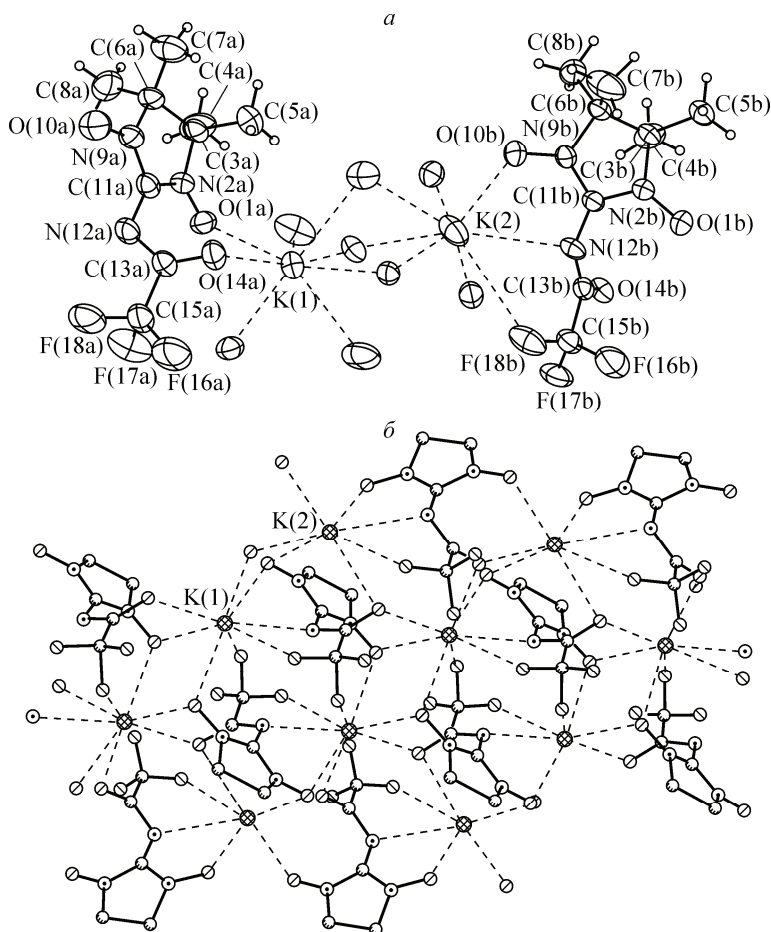


Рис. 4. Окружение атомов К (а) и фрагмент ленты (метильные группы не показаны) (б) в структуре К(4б)

1,313(1) Å, нижняя граница которого соответствует группам N—O, не принимающим участия в образовании H-связей, то во второй — все длины связей N—O практически одинаковы (1,292(1) и 1,304(1) Å). Кроме того, образование множественных H-связей в **1** вызывает деформацию фрагмента {>C—NH<sub>2</sub>}, так что атомы N выходят из плоскости HCH на 0,16(1) и 0,11(1) Å.

В продукте окисления **1** — цвиллер-ионе **3а** (рис. 2) связи N—O и C—N<sub>H</sub> короче, чем в **1**, и равны 1,260(2)—1,264(2) и 1,284(3) Å соответственно. Атом H группы NH лежит в плоскости NCN нитронилнитроксильного фрагмента. В образующемся в результате ацилирования нитроксила **3б** расстояния N—O еще короче, чем в **1** и **3а** — 1,241(7) и 1,249(7) Å (см. табл. 2). В структуре **3а** можно выделить центросимметричные димеры (см. рис. 2, в) с расстояниями O(10)...O(10') 3,366(6) Å, тогда как в **3б** — цепочки за счет коротких контактов между атомами O(10) и атомами C(11) соседних молекул (3,11(1) Å) (см. рис. 2, г). Возникновение таких коротких контактов в **3б** свидетельствует о значительном положительном заряде на атоме C(11) цвиллер-иона.

При восстановлении **3б** образуется парамагнитный анион **4б**, при этом **3б** в условиях реакции частично гидролизуется. Поэтому при кристаллизации продукта реакции из смеси ДМФА с эфиром в твердую фазу выделяются кристаллы двух соединений — солей K(**4б**) и K<sub>2</sub>(**4б**)(CF<sub>3</sub>CO<sub>2</sub>) (рис. 3 и 4). Отметим, что ранее K(**4б**) был получен только в виде раствора и охарактеризован методом ЭПР [3]. В структурах K(**4б**) и K<sub>2</sub>(**4б**)(CF<sub>3</sub>CO<sub>2</sub>) расстояния N—O близки к таковым в **1** и лежат в интервале 1,288(5)—1,302(5) Å. В то же время связи C—N<sub>R</sub> (по сравнению с C—N<sub>H2</sub> в **1**) значительно увеличены — 1,349(6) в K<sub>2</sub>(**4б**)(CF<sub>3</sub>CO<sub>2</sub>), 1,369(8)

и 1,362(7) Å в K(**4b**), а связи C—N в гетероцикле несколько короче (см. табл. 2). Окружение атомов K в обеих структурах формируют атомы O, F и иминные атомы N, образуя в каждой структуре для одного атома K 8-, а для другого — 7-вершинник с расстояниями K—X (X = N, O, F) 2,627(5)—3,139(4) Å (см. табл. 2). В целом, структура K<sub>2</sub>(**4b**)(CF<sub>3</sub>CO<sub>2</sub>) слоистая, а структура K(**4b**) образована широкими лентами с четырьмя рядами атомов K (см. рис. 4, б).

Таким образом, в результате проведенного исследования удалось установить молекулярную и кристаллическую структуру аминозамещенного нитронилнитроксила **1** и продуктов его последовательных превращений — диамагнитных цвиттер-ионов **3a**, **3b** и парамагнитных солей K<sub>2</sub>(**4b**)(CF<sub>3</sub>CO<sub>2</sub>), K(**4b**). Это позволило проследить характер изменения длин связей в сопряженном фрагменте ONC(N)NO при переходе от **1** к его производным. Показано также, что в условиях восстановления цвиттер-ион **3b** подвергается гидролизу, в результате чего при кристаллизации продукта в твердую фазу выделяются парамагнитные соли K(**4b**) и K<sub>2</sub>(**4b**)(CF<sub>3</sub>CO<sub>2</sub>).

Работа выполнена при финансовой поддержке Российского фонда фундаментальных исследований (гранты 11-03-00027, 12-03-00067), Совета по грантам Президента РФ (МК-3112.2011.3, МК-868.2011.3), Министерства образования и науки РФ (соглашение 8436), РАН и СО РАН.

#### СПИСОК ЛИТЕРАТУРЫ

1. Suzuki S., Furui T., Kuratsu M., Kozaki M., Shiomi D., Sato K., Takui T., Okada K. // J. Amer. Chem. Soc. – 2010. – **132**. – P. 15908.
2. Третьяков Е.В., Овчаренко В.И. // Успехи химии. – 2009. – **78**. – С. 1051.
3. US Patent 3740412.
4. Stable Radicals: Fundamentals and Applied Aspects of Odd-Electron Compounds / R.G. Hicks (Ed.) John Wiley and Sons: Chichester, UK, 2010.
5. Sakurai H., Izuoka A., Sugawara T. // J. Amer. Chem. Soc. – 2000. – **122**. – P. 9723.